

## КРАТКИЕ СООБЩЕНИЯ

УДК 537.32

© 1994

ОСОБЕННОСТИ МАГНИТНЫХ СВОЙСТВ  
НОВОЙ КОНДО-РЕШЕТКИ  $\text{CeFe}_2\text{Al}_8$ *М.Д.Котерлин, Б.С.Морогиевский, Н.Г.Бабич, Н.И.Захаренко*

Одним из важнейших направлений в исследовании природы состояний с промежуточной валентностью (СПВ) и тяжелыми фермионами является поиск новых материалов, для которых характерна повышенная чувствительность свойств основного состояния к изменениям состава или внешних условий. Именно под таким углом зрения были исследованы явления переноса в новых соединениях типа  $\text{CeM}_2\text{X}_8$  с  $\text{M} = \text{Fe}, \text{Co}$  и  $\text{X} = \text{Al}, \text{Ga}$  [1,2] (ромбическая сингония, пространственная группа  $Pbam$  [3]). Обнаружено, что в зависимости от элементов  $\text{M}$  и  $\text{X}$  в данных соединениях реализуются переходы  $\text{Ce}$  от магнитного состояния ( $\text{CeCo}_2\text{Ga}_8$ ) до СПВ ( $\text{CeFe}_2\text{Al}_8$ ). При этом особая чувствительность состояния  $\text{Ce}$  к атомным замещениям наблюдается только в  $\text{CeFe}_2\text{Al}_8$  [1].

В данном сообщении приведены исследования магнитных свойств поликристаллических образцов  $\text{CeFe}_2\text{Al}_8$  и его аналога с  $\text{La}$ .

Подготовка образцов и методика их измерений аналогичны описанным в [1,4]. Измерения удельного электросопротивления  $\rho$  проводились в интервале температур 1.7–300 K, а коэффициента дифференциальной термоэдс  $\alpha$  и магнитной восприимчивости  $X$  — в интервале температур 4.2–300 K.

На рис. 1 приведены температурные зависимости магнитной составляющей сопротивления  $\rho_m$ , определяемой соотношением  $\rho_m = \rho(\text{CeFe}_2\text{Al}_8) - \rho(\text{LaFe}_2\text{Al}_8)$ , и  $\alpha$  соединений  $R\text{Fe}_2\text{Al}_8$  ( $R = \text{Ce}, \text{La}$ ). Качественно зависимости  $\rho_m(T)$  и  $\alpha(T)$  подобны наблюдаемым в системах с СПВ  $\text{Ce}$  [4,5]. Отличительной особенностью  $\rho_m$  являются появление резкого спада при  $T < 6$  K, наличие аномального широкого плато в области температур  $8 < T < 40$  K и отсутствие фермижидкостного участка роста в нижнем интервале температур ( $\rho_m = \rho_0 + AT^3$  для  $40 < T < 80$  K с  $A = 1.3 \cdot 10^{-4} \mu\Omega \cdot \text{см} \cdot \text{K}^{-3}$ ). Поведение  $\rho(T)$   $\text{LaFe}_2\text{Al}_8$  не обнаруживает заметных особенностей в измеряемом интервале температур и качественно соответствует закону Блоха–Грюнайзена. Особенности поведения  $\rho_m$  в области температур  $40 < T < 80$  K коррелируют с дополнительным отрицательным вкладом в  $\alpha$  для  $\text{CeFe}_2\text{Al}_8$  и его

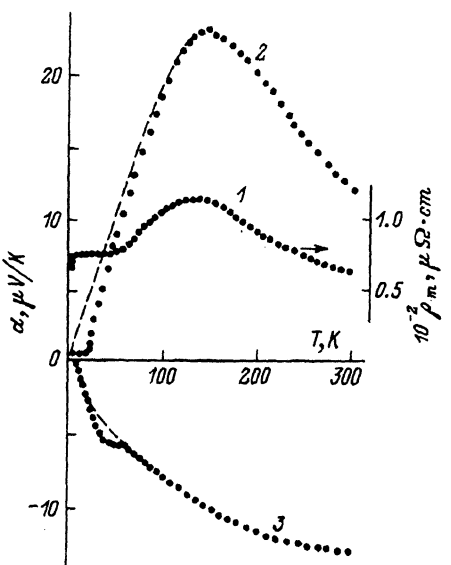


Рис. 1. Температурные зависимости магнитной составляющей удельного электросопротивления  $\rho_m$  CeFe<sub>2</sub>Al<sub>8</sub> (1) и термоэдс  $\alpha$  RFe<sub>2</sub>Al<sub>8</sub> ( $R = \text{Ce}$  (2), La (3)).

аналога с La (на рис. 1 пунктиром качественно обозначена типичная для таких систем зависимость  $\alpha(T)$  [4]).

Приведенные данные указывают на возможность существования в CeFe<sub>2</sub>Al<sub>8</sub> двух магнитных фазовых переходов в подрешетке Fe при температурах  $\sim 4 \div 6$  и  $\sim 40 \div 60$  К. В LaFe<sub>2</sub>Al<sub>8</sub> низкотемпературный фазовый переход, по-видимому, отсутствует.

На рис. 2 приведены результаты измерений магнитной восприимчивости. Как видно, для LaFe<sub>2</sub>Al<sub>8</sub> зависимость  $\chi(T)$  соответствует закону Кюри–Вейсса в области температур  $45 < T < 300$  К и  $T < 10$  К. Отколо-

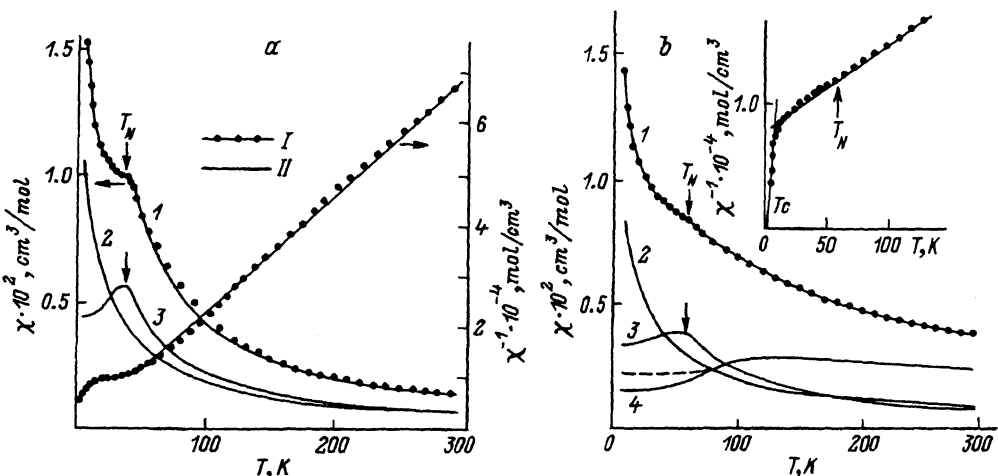


Рис. 2. Экспериментальные (I) и расчетные (II) температурные зависимости магнитной воспроизводимости  $\chi$  (1) и ее составляющих  $\chi_{\text{Fe}1}$  (2),  $\chi_{\text{Fe}2}$  (3),  $\chi_{\text{Ce}}$  (4) для LaFe<sub>2</sub>Al<sub>8</sub> (a) и CeFe<sub>2</sub>Al<sub>8</sub> (b).  $T_N = 40$  (a) и 60 К (b),  $T_c = 4$  К.

нение зависимости  $\chi^{-1}(T)$  от прямой при  $T < 40$  К можно связывать с наличием антиферромагнитного перехода (АТФП) при части ионов Fe. В случае CeFe<sub>2</sub>Al<sub>8</sub> предполагаемый переход выражен менее четко и сдвинут в область  $\sim 50 \div 60$  К. Резкое возрастание  $\chi$  при  $T < 10$  К хорошо коррелирует со спадом  $\rho_m$  и может соответствовать магнитному упорядочению ионов Fe с  $T_c \approx 4$  К. Определенные из линейных участков  $\chi^{-1}$  ( $T > 60$  К) эффективные магнитные моменты, отнесенные на формальную единицу вещества, составляют  $\sim 1.9$  и  $3.7 \mu_B$  соответственно для соединений с La и Ce, что указывает на магнитное состояние ионов Ce в данном интервале температур. Для количественного определения магнитных характеристик ионов Ce и Fe необходимо рассмотреть особенности кристаллической структуры  $R\text{Fe}_2\text{Al}_8$ .

Из анализа структурных данных [3] следует, что в  $R\text{Fe}_2\text{Al}_8$  элементы  $R$  и Fe образуют одномерные цепочки вдоль оси  $C$  с межатомным расстоянием в цепочке  $\sim 4$  Å. Цепочки хорошо экранированы друг от друга большим количеством атомов Al в их ближайшем окружении (9–12 атомов Al в координационной сфере R и Fe радиусом  $r \leq 3.2$  Å). В структуре можно выделить два типа Fe-цепочек (Fe и Fe2). Для Fe1-цепочки характерны большие межцепочечные расстояния ( $d(\text{Fe1-Fe1}) \approx 7.6$  Å,  $d(\text{Fe1-Fe2}) \approx 4.7$  Å), а для Fe2-цепочки — сильное их попарное сближение ( $d(\text{Fe2-Fe2}) \approx 2.8$  Å), что приводит к образованию в  $R\text{Fe}_2\text{Al}_8$  гантелеобразных фрагментов структуры «Fe2–Fe2». На формульную единицу вещества  $R\text{Fe}_2\text{Al}_8$  приходится по одному атому Fe1 и Fe2, и их ближайшее окружение почти одинаково.

Исходя из проведенного анализа, можно предположить, что для LaFe<sub>2</sub>Al<sub>8</sub>  $\mu_{\text{eff}}(\text{Fe1}) = \mu_{\text{eff}}(\text{Fe2}) \approx 1.9/\sqrt{2} \mu_B$ , и общую восприимчивость представить в виде двух составляющих восприимчивостей Fe1- и Fe2-подрешеток ( $\chi_{\text{LaFe}_2\text{Al}_8} = \chi_{\text{Fe1}} + \chi_{\text{Fe2}}$ ), пренебрегая паулиевским и ван-флековским температурно-независимым вкладом. Согласие  $\chi_{\text{exp}}$  с расчетным достигается для

$$\chi_{\text{Fe1}} = C/(T - \theta_1), \quad 4 < T \leq 300 \text{ K},$$

$$\chi_{\text{Fe2}} = C/(T - \theta_2), \quad 40 < T \leq 300 \text{ K}$$

при  $\theta_1 = -18$  К,  $\theta_2 \approx 0$  К,  $C = 0.245 \text{ cm}^3/\text{mol}\cdot\text{K}$  и  $\mu_{\text{eff}}(\text{Fe1}) = \mu_{\text{eff}}(\text{Fe2}) = 1.4 \mu_B$ . Предполагая наличие АТФП в подрешетке Fe2 при  $T_N = 40$  К, поведение  $\chi_{\text{Fe2}}$  при  $T < 40$  К определяли из разности  $\chi_{\text{exp}} - \chi_{\text{Fe1}}$ . В случае CeFe<sub>2</sub>Al<sub>8</sub> магнитное упорядочение при  $T_c \approx 4$  К логично отнести к Fe1-подрешетке и учесть для Fe2-подрешетки возрастание  $T_N$  до 60 К. Это согласуется с уменьшением расстояний  $d(\text{Fe1-Fe})$  в Fe1-цепочке ( $\sim 5\%$ ) и  $d(\text{Fe2-Fe2})$  ( $\sim 1\%$ ) между Fe2-цепочками при замене La → Ce, вычисленных на основании данных [3]. Полученные характеристики подрешеток Fe1 и Fe2 использовались при вычислении вклада Ce в общую  $\chi$  ионов Ce в области температур  $T_c < T < 300$  К ( $\chi_{\text{Ce}} = \chi_{\text{CeFe}_2\text{Al}_8} - \chi_{\text{Fe1}} - \chi_{\text{Fe2}}$ ). При этом температура АТФП в Fe2-подрешетке принималась  $T'_N = 60$  К. Некоторая произвольность в определении  $\chi_{\text{Ce}}$  появляется при  $T < T'_N$ . В связи с тем что  $\chi_{\text{Ce}}$  обнаруживает максимум, характерный для систем с СПВ Ce  $T(\chi_{\text{Ce}}^{\max}) \approx T(\rho_m^{\max}) \approx T(a^{\max}) \approx 140$  К, при  $T < T'_N$   $\chi_{\text{Ce}}$  принималась постоянной.

Кривая  $\chi_{\text{Ce}}$  хорошо описывается в рамках примесной модели Кокблэна-Шриффера [6] с характеристической температурой  $T_K \simeq 285$  К и  $\chi_{\text{Ce}}(0) \simeq 2.7 \cdot 10^{-3} \text{ см}^3/\text{mol}$  (пунктирная кривая), за исключением крутого спада при  $T < 140$  К. Учитывая в  $\text{CeFe}_2\text{Al}_8$  высокую чувствительность  $T(\alpha^{\max})$  к составу [11], можно считать, что такое расхождение может быть вызвано изменением валентного состояния Ce в области температур  $40 < T < 80$  К. Качественно это согласуется с большим плато  $\rho_m$  ( $T < 40$  К), отсутствием ферми-жидкостного участка роста  $\rho_m$  ( $40 < T < 80$  К) и значительным отклонением термоэдс от линейности при  $T < 60$  К. Аналогичное поведение  $\rho_m$  обнаружено ранее в  $\text{YbCu}_4\text{In}$ , в котором отклонение от фермижидкостного участка роста  $\rho_m$  связано с резким валентным переходом Yb в области температур 40–60 К [7].

Таким образом, по совокупности приведенных данных в  $\text{CeFe}_2\text{Al}_8$  при температурах 40–80 К наблюдается, по-видимому, сосуществование АТФП в подрешетке ионов железа ( $T'_N \simeq 60$  К) и электронного фазового перехода с изменением валентности Ce, которые существенно влияют на транспортные свойства соединения.

Однако для более полного выяснения взаимосвязи обнаруженных фазовых переходов необходимы температурные спектроскопические исследования магнитной структуры Fe-подрешеток и валентности Ce в  $\text{CeFe}_2\text{Al}_8$ .

### Список литературы

- [1] Котерлин М.Д., Морохивский Б.С., Лапунова Р.В., Сичевич О.М. // ФТТ. 1989. Т. 31. № 10. С. 297–299.
- [2] Котерлин М.Д., Морохивский Б.С., Гринь Ю.Н., Сичевич О.М. // Докл. АН УССР. А. 1988. № 11. С. 68–71.
- [3] Гринь Ю.Н., Гладышевский Р.Е. Галлиды: Справочное издание. М.: Металлургия, 1989. 304 с.
- [4] Котерлин М.Д., Бабич О.И., Луцив Р.В., Немошканенко В.В., Николаев Р.И., Ющенко А.В. // Препринт ИМФ. Киев, 1986. № 11. 24 с.
- [5] Луцив Р.В., Котерлин М.Д., Бабич О.И. // ФТТ. 1984. Т. 26. № 6. С. 1781–1785.
- [6] Rajan T.V. // Phys. Rev. Lett. 1983. V. 51. P. 308–311.
- [7] Котерлин М.Д., Морохивский Б.С., Шерба И.Д., Сыса Л.В., Калычак Е.М., Луцив Р.В. // Докл. АН УССР. А. 1991. № 5. С. 56–58.

Львовский государственный университет  
им. И.Франко

Поступило в Редакцию  
20 апреля 1993 г.